

## **ЛЕКЦИЯ №9**

**По дисциплине:**

**«Электроника и электротехника»**

**Тема №:5**

**Переходные процессы в линейных электрических цепях**

**Занятие №:5**

**Расчет переходных процессов в электрических цепях**

### **Учебные вопросы:**

Переходные процессы при подключении R-L-C-цепи к источнику напряжения.

### **Литература для самостоятельной работы обучающихся:**

#### ***а) основная литература:***

**1. Иванов, И. И.** Электротехника и основы электроники: учебник. – 9-е изд., стер/ И.И. Иванов, Г.И. Соловьев, В.Я Фролов. – СПб: Лань, 2017. – 736 с.

**2. Касаткин, А.С.** Электротехника: учебник/ А.С. Касаткин, М.В. Немцов. – 12-е изд. стер. – Москва.: Академия, 2008. – 544 с. – и предыдущие издания.

#### ***б) дополнительная литература:***

**3. Немцов, М. В.** Электротехника и электроника: учебник/ М. В. Немцов. – Москва: КноРус, 2016. – 560 с. – и предыдущие издания.

## Переходные процессы при подключении R-L-C-цепи к источнику напряжения

Рассмотрим два случая:

а) включение постоянного напряжения

$$u(t) = U_0;$$

б) включение переменного синусоидального напряжения

$$u(t) = U_m \sin(\omega t + \varphi_U).$$

### Случай а.)

Согласно изложенной в предыдущей лекции методике расчета переходных процессов классическим методом для напряжения на конденсаторе в цепи на рис. 3 можно записать

$$u_C(t) = u_{C\text{пр}} + u_{C\text{св}}. \quad (1)$$

Тогда для первого случая принужденная составляющая этого напряжения

$$u_{C\text{пр}} = U_0. \quad (2)$$

Характеристическое уравнение цепи

$$LCp^2 + RCp + 1 = 0,$$

решая которое, получаем

$$p_{1,2} = -\frac{R}{2L} \pm \sqrt{\left(\frac{R}{2L}\right)^2 - \frac{1}{LC}}.$$

В зависимости от соотношения параметров цепи возможны три типа корней и соответственно три варианта выражения для свободной составляющей:

1.  $\frac{R}{2L} > \frac{1}{\sqrt{LC}}$  или  $R > R_{\text{кп}} = 2\sqrt{\frac{L}{C}}$ , где  $R_{\text{кп}}$  - **критическое сопротивление** контура, меньше которого свободный процесс носит колебательный характер.

В этом случае

$$u_{C\text{св}} = A_1 e^{p_1 t} + A_2 e^{p_2 t} \quad (3)$$

2.  $R = R_{\text{кп}}$  - предельный случай апериодического режима.

В этом случае  $p_1 = p_2 = p = -R/(2L)$  и

$$u_{C\text{св}} = (A_1 + A_2 t) e^{pt} \quad (4)$$

3.  $R < R_{\text{кп}}$  - периодический (колебательный) характер переходного процесса.

В этом случае  $p_{1,2} = -\delta \pm j\omega_0$  и

$$u_{C\text{св}} = A e^{-\delta t} \sin(\omega_0 t + \varphi), \quad (5)$$

где  $\delta = R/(2L)$  - коэффициент затухания;  $\omega_0 = \sqrt{\frac{1}{LC} - \left(\frac{R}{2L}\right)^2} = \frac{2\pi}{T_0}$  - **угловая частота собственных колебаний**;  $T_0$  - период собственных колебаний.

Для апериодического характера переходного процесса после подстановки (2) и (3) в соотношение (1) можно записать

$$u_C(t) = U_0 + A_1 e^{p_1 t} + A_2 e^{p_2 t}.$$

Для нахождения постоянных интегрирования, учитывая, что в общем случае

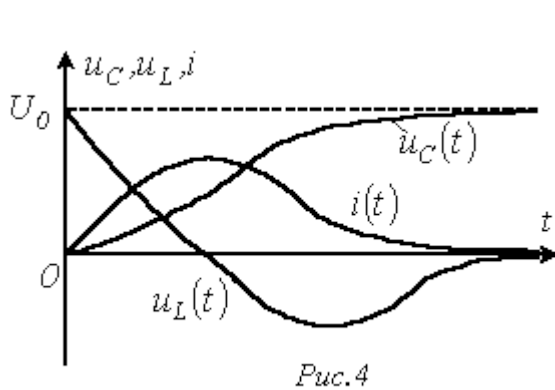
$u_C(0) \neq 0$  и в соответствии с первым законом коммутации  $\left. \frac{du_C}{dt} \right|_0 = \frac{i(0)}{C} = 0$ , запишем для  $t=0$  два уравнения:

$$\begin{aligned} u_C(0) - U_0 &= A_1 + A_2; \\ 0 &= p_1 A_1 + p_2 A_2, \end{aligned}$$

решая которые, получим

$$A_1 = (U_0 - u_C(0)) \frac{p_2}{p_1 - p_2}; \quad A_2 = (U_0 - u_C(0)) \frac{p_1}{p_2 - p_1}.$$

Таким образом,



$$u_C(t) = U_0 + (U_0 - u_C(0)) \left( \frac{p_2}{p_1 - p_2} e^{p_1 t} - \frac{p_1}{p_1 - p_2} e^{p_2 t} \right).$$

Тогда ток в цепи

$$i(t) = C \frac{du_C}{dt} = C(U_0 - u_C(0)) \frac{p_1 p_2}{p_1 - p_2} (e^{p_1 t} - e^{p_2 t}) = (U_0 - u_C(0)) \frac{p_1 p_2 C}{p_1 - p_2} (e^{p_1 t} - e^{p_2 t}).$$

и напряжение на катушке индуктивности

$$u_L(t) = L \frac{di}{dt} = (U_0 - u_C(0)) \frac{p_1 p_2 L}{p_1 - p_2} (e^{p_1 t} - e^{p_2 t}).$$

На рис. 4 представлены качественные кривые  $u_C(t)$ ,  $i(t)$  и  $u_L(t)$ , соответствующие апериодическому переходному процессу при  $u_C(0) = 0$ .

Для критического режима на основании (2) и (4) можно записать

$$u_C(t) = U_0 + (A_1 + A_2 t) e^{pt}.$$

При  $t = 0$

$$\begin{aligned} u_C(0) - U_0 &= A_1; \\ p A_1 + A_2 &= 0. \end{aligned}$$

Таким образом

$$u_C(t) = U_0 + (U_0 - u_C(0)) \left( 1 + \frac{R}{2L} t \right) e^{pt}$$

и

$$i(t) = C \frac{du_C}{dt} = (A_2 e^{pt} + pA_1 e^{pt} + pA_2 t e^{pt}) = CpA_2 t e^{pt} = \frac{U_0 - u_C(0)}{L} t e^{-\frac{R}{2L}t}.$$

Для колебательного переходного процесса в соответствии с (2) и (5) имеем

$$u_C(t) = U_0 + A e^{-\delta t} \sin(\omega_0 t + \varphi).$$

Для нахождения постоянных интегрирования запишем ( $t = 0$ )

$$u_C(0) - U_0 = A \sin \varphi;$$

$$0 = -\delta A \sin \varphi + A \omega_0 \cos \varphi,$$

откуда

$$A = (u_C(0) - U_0) / \sin \varphi \text{ и } \operatorname{tg} \varphi = \omega_0 / \delta.$$

Тогда

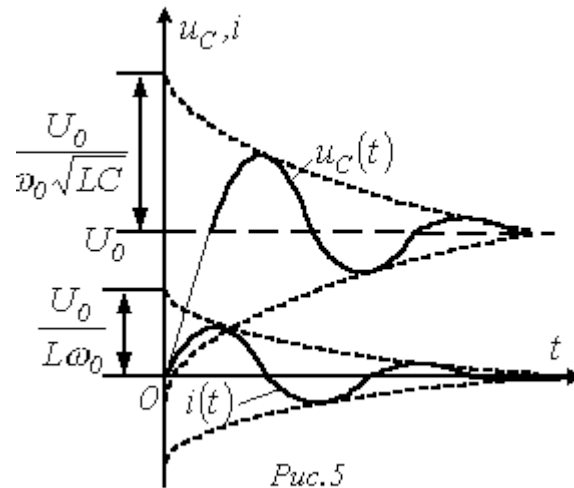
$$\begin{aligned} u_C(t) &= U_0 + \frac{u_C(0) - U_0}{\sin \varphi} e^{-\delta t} (\sin \omega_0 t \cos \varphi + \cos \omega_0 t \sin \varphi) = U_0 + (u_C(0) - U_0) e^{-\delta t} \times \\ &\times \left( \frac{\delta}{\omega_0} \sin \omega_0 t + \cos \omega_0 t \right) = U_0 + \frac{u_C(0) - U_0}{\omega_0} e^{-\delta t} \sqrt{\omega_0^2 + \delta^2} \sin \left( \omega_0 t + \operatorname{arctg} \frac{\omega_0}{\delta} \right) = \\ &= U_0 + \frac{u_C(0) - U_0}{\sqrt{LC} \omega_0} e^{-\delta t} \sin \left( \omega_0 t + \operatorname{arctg} \frac{\omega_0}{\delta} \right); \end{aligned}$$

$$i(t) = C \frac{du_C}{dt} = C(U_0 - u_C(0)) \frac{\omega_0^2 + \delta^2}{\omega_0} e^{-\delta t} \sin \omega_0 t = \frac{U_0 - u_C(0)}{L \omega_0} e^{-\delta t} \sin \omega_0 t.$$

На рис. 5 представлены качественные кривые  $u_C(t)$  и  $i(t)$ , соответствующие колебательному переходному процессу при  $u_C(0) = 0$ .

**Случай б)**

При подключении R-L-C-цепи к источнику синусоидального напряжения для нахождения принужденных составляющих тока в цепи и напряжения на конденсаторе следует воспользоваться символическим методом расчета, в соответствии с которым



$$\dot{I}_{\text{нпр}} = \frac{\dot{U}_m}{Z} = \frac{U_m e^{j\varphi_U}}{R + j\omega L - j\frac{1}{\omega C}} = I_m e^{j(\varphi_U - \varphi)}$$

и

$$\dot{U}_{\text{снпр}} = -j \frac{1}{\omega C} \dot{I}_{\text{нпр}} = \frac{I_m}{\omega C} e^{j(\varphi_U - \varphi - \frac{\pi}{2})} = U_{\text{см}} e^{j(\varphi_U - \varphi - \frac{\pi}{2})},$$

где

$$I_m = U_m / \sqrt{R^2 + (\omega L - 1/\omega C)^2}; \quad \varphi = \arctg(\omega L - 1/\omega C)/R; \quad U_{\text{см}} = I_m / (\omega C).$$

Таким образом,

$$i_{\text{нп}}(t) = I_m \sin(\omega t + \varphi_U - \varphi) \quad \text{и} \quad u_{\text{снп}}(t) = U_{\text{см}} \sin\left(\omega t + \varphi_U - \varphi - \frac{\pi}{2}\right).$$

Здесь также возможны три режима:

1.  $R > R_{\text{кр}};$
2.  $R = R_{\text{кр}};$
3.  $R < R_{\text{кр}};$

$$p_1 \neq p_2$$

$$p_1 = p_2 = -\delta$$

$$p_{1,2} = -\delta \pm j\omega_0$$

Наибольший интерес представляет третий режим, связанный с появлением во время переходного процесса собственных колебаний с частотой  $\omega_0$ . При этом возможны, в зависимости от соотношения частот собственных колебаний и напряжения источника, три характерные варианта: 1 -  $\omega \gg \omega_0$ ; 2 -  $\omega \ll \omega_0$ ; 3 -  $\omega = \omega_0$ , - которые представлены на рис. 6,а...6,в соответственно.

